

## (283) 低Si域における脱Si処理

日本钢管 研究所 福山製鉄所 ○山瀬 治 小倉英彦 半明正之 宮脇芳治  
福山研究所 山田健三 工博 宮下芳雄

## 1. 緒言

溶銑段階で脱P処理を行う場合、従来から報告されているように、銑中Siはできるだけ低いことが、望ましく、脱P処理の安定化の為には、(Si)レベルは0.10%以下にする必要がある。このため今回低Si域での脱Si反応挙動を調査したので、その結果を報告する。

## 2. 実験方法

脱Si処理設備は、バプリングランス、送酸装置、副材供給装置（連続上部投入、インジェクション）よりなっており、脱Si剤のミルスケールは上部より、連続供給あるいはインジェクションで供給され、酸素ガスは上吹で浴に吹きつけた。

## 3. 試験結果

1) 脱Si反応：脱Si処理中の脱Si、脱C反応効率の推移を図1に示す。脱Si効率は(Si)の低下と共に減少し、特に(Si)<0.15%以下では低下が著しい、それとは逆に脱C効率は急激に増加する。また脱Si処理時の銑中Siと処理時間の間には

$$-\ln \frac{[Si]}{[Si]_0} = K_{Si} \cdot t$$

$$\left( [Si]_0, [Si]; \text{時間 } 0 \text{ 分}, t \text{ 分の銑中Si\%} \quad K_{Si}; \text{脱Si反応速度定数} \right)$$

(t ; 時間)

なる関係が成立し、低Si域においては、脱Si反応がSiの拡散律速の1次反応であることがわかった。（図2）脱Si反応速度定数は、浴の攪拌力とともに増加し、攪拌力の強化による脱Si効率の向上が可能である。（図3）

2) 脱Si時の同時脱P；低Si域においては、塩基度調整を行うことによって、スラグ中T.Feは約10%減少する。これは塩基度上昇によるFeO活量の増加によるものと考えられる。塩基度増加とともに、同時脱Pが進行し、 $\text{CaO/SiO}_2 = 0.6$ で約30%の脱Pが可能であり、これにより脱P処理時の装入Pの低減が可能である。（図4）

## 4. 結言

低Si域での脱Si反応挙動を調査した結果次の点が確認できた。

1) 低Si域においては、脱Si反応はSiの拡散律速となり、脱Si反応効率は攪拌力の増加により上昇する。

2) 脱Siプロセスにおいても、スラグフーミングの生じない範囲の塩基度調整( $\text{CaO/SiO}_2 = 0.6$ )で約30%の脱Pが可能である。

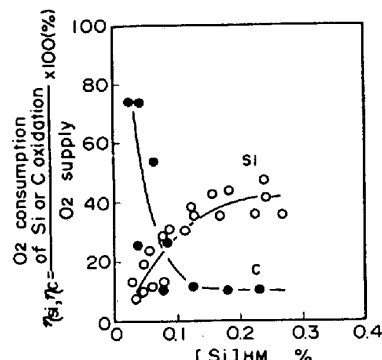


Fig. 1 Efficiency of O<sub>2</sub> Utilization VS. [Si]HM %

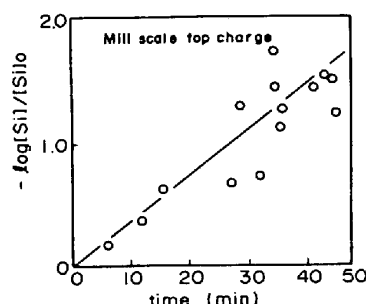


Fig. 2 Change in  $-\log [Si]/[Si]_0$  in hot metal

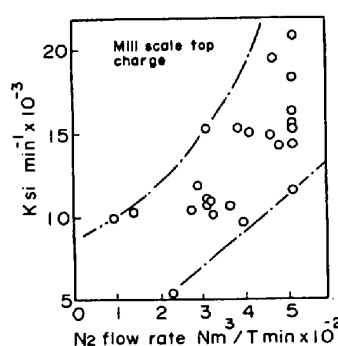


Fig. 3 Rate constant of Si oxidation VS. N<sub>2</sub> flow rate

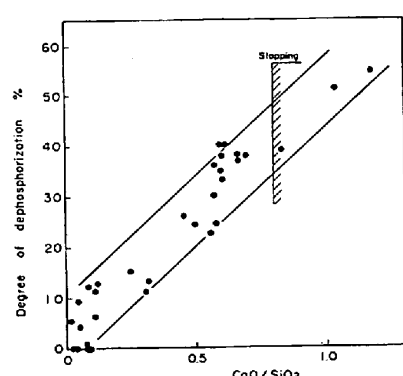


Fig. 4 Relation between Basicity and degree of dephosphorization